

## بررسی خاصیت فرومغناطیس نانوذرات اکسید روی آلایش شده با یون منگنز در دماه اتاق

نسرین صراف<sup>۱</sup>، احمد حسن پور<sup>\*</sup><sup>۲</sup>، سید علی هاشمی زاده عقدا<sup>۱</sup>، احمد آخوند<sup>۱</sup>

۱- دانشگاه پیام نور تهران شرق، خیابان ۱۵ متری شیرازی، شهرک حکیمیه (سازمان آب)- تهران

۲- گروه فیزیک، دانشگاه آزاد اسلامی واحد اهواز، اهواز بلوار پاسداران، سه راه فرودگاه

(دریافت مقاله: ۹۳/۳/۱۱، نسخه نهایی: ۹۳/۵/۲۸)

**چکیده:** در این پژوهش نانوذرات نیمرسانای اکسید روی رقیق شده با یون منگنز به روش سل- ژل خود احتراقی با فرمول کلی  $Zn_{1-x}Mn_xO$  ( $x = 0, 0, 0.03, 0.05, 0.07, 0.1$ ) تهیه شد. تک فاز بودن همهٔ نمونه‌ها و اندازهٔ بلورکها به کمک پراش پرتو ایکس و رابطهٔ شرر و بیناب فروسرخ فوریه مورد تایید قرار گرفت. اندازهٔ ذرات با میکروسکوپ الکترونی عبوری در حد چند نانومتر برآورد شد. بیناب‌های فروسرخ نمونه‌ها (FTIR) نشان داد که پهنهٔ جذبی ۴۰۰-۶۰۰ نانومتر به برهمنش میان منگنز و اکسیژن در جایگاه‌های شش گوشی وابسته است. چرخهٔ پسماند نمونه‌ها که با مغناطش سنج ارتعاشی (VSM) انجام گرفت، نشان داد که نمونه‌ها دارای خاصیت فرومغناطیسی در دماه اتاق هستند. از بیناب فتوالکترونی پرتو ایکس نمونه‌ها (XPS) می‌توان نتیجهٔ گرفت که یون-های منگنز دوظرفیتی در ساختار اکسید روی شرکت کرده‌اند. خاصیت فرومغناطیسی نمونه‌ها در غلظت‌های بالاتر منگنز کاهش یافت که این می‌تواند ناشی از خاصیت پادرفوی یون‌های منگنز در غلظت‌های بالا باشد.

**واژه‌های کلیدی:** آلایش با یون منگنز؛ اکسید روی؛ نیمرسانای مغناطیسی رقیق شده؛ سل ژل خود احتراقی.

### مقدمه

ژل مورد بررسی قرار دادند و نتایج مشابهی را گزارش کردند [۶]. و به طور مشابه نتایج جالبی در آن نمونه‌ها را گزارش کرده‌اند. برای مثال هن و همکارانش گذار فازی فرو مغناطیسی را در نمونه‌های  $Zn_{0.95}Mn_{0.05}O$  در ۱۱۷۰ کلوین با وجود فاز ناخالصی  $Mn_2O_4$  مشاهده نمودند [۷]. نتایج مشابهی در نمونه‌های لی و همکارانش به روش سل ژل  $Zn_{1-x}Mn_xO$  در دمای ۹۰۰ درجهٔ سانتیگراد، با وجود نیتروژن هوا، بدست آمد [۸]. شرما و همکارانش خاصیت فرومغناطیس در دماه اتاق را برای نمونه‌های و بالک (کپه‌ای) گزارش کرده‌اند [۹]. اخیراً چن و همکاران اثر دما را در خواص مغناطیسی اکسید روی آلایش شده با منگنز بررسی کرده‌اند [۱۰].

نیمرساناهای مغناطیسی رقیق شده نیمرساناهایی هستند که با یک یون مغناطیسی به مقدار بسیار کم آلایش می‌شوند. اکسید روی ( $ZnO$ ) به عنوان یک نیمرسانای با گاف انرژی زیاد ( $Eg = ۳/۴\text{eV}$ ) [۱] به دلیل ویژگی‌های منحصر به فرد از جمله دارا بودن ساختار شش گوشی، کاربردهای فراوانی در ابزارهای میکروالکتریک [۲] و اسپین ترونیک [۴، ۳] دارد. در سال‌های اخیر خواص فرومغناطیسی اکسید روی آلایش شده با یون‌های منگنز در توده‌ها و فیلم‌ها مورد بررسی فراوانی قرار گرفته‌اند [۵] در سال‌های اخیر کیم و همکارانش خاصیت مغناطیسی فیلم‌های  $Zn_{0.8}Mn_{0.2}O$  را در دماه  $T_C \approx ۳۹K$  به روش سل

\*نویسنده مسئول، تلفن: ۰۳۱۳۶۷۳۵۵۰۵، نامبر: ۰۶۱۴۴۴۵۲۸۸، پست الکترونیکی: hasanpour88@gmail.com

سفید و دیگر نمونه‌ها به نسبت مقدار ناخالصی خود از قهقهه‌ای روشن تا تیره تغییر رنگ یافتند. برای فازیابی نمونه‌ها از پراش-(Make Bruker : Model D8) سنج پرتو ایکس مدل (Cu K با طول  $\lambda = 1,540.598 \text{ \AA}$ ) در ۴۰ کیلو ولت و ۴۰ میلی آمپر استفاده شد. میانگین اندازه‌ی بلورک‌ها از پهن‌شدگی قله‌ی (۱۰۱) نمونه‌ها و با استفاده از رابطه‌ی شرور محاسبه شدند. پارامترهای شبکه با استفاده از قانون برآگ [۱۵] و با نرم افزار X-pert بدست آمد. ریخت‌شناصی نمونه‌ها به کمک میکروسکوپ الکترونی عموری بررسی شد. چرخه‌های پسماند مغناطیسی نمونه‌ها با استفاده از (Lakeshore-7404) مدل (VSM) سنج ارتعاشی (VSM) بدست آمد. مغناطیسی سنج ارتعاشی (VSM) مدل (VSM-7404) با بیشینه میدان ۲۰۰۰۰ ارستد بررسی شدند.

### نتایج و بررسی بررسی‌های ساختاری

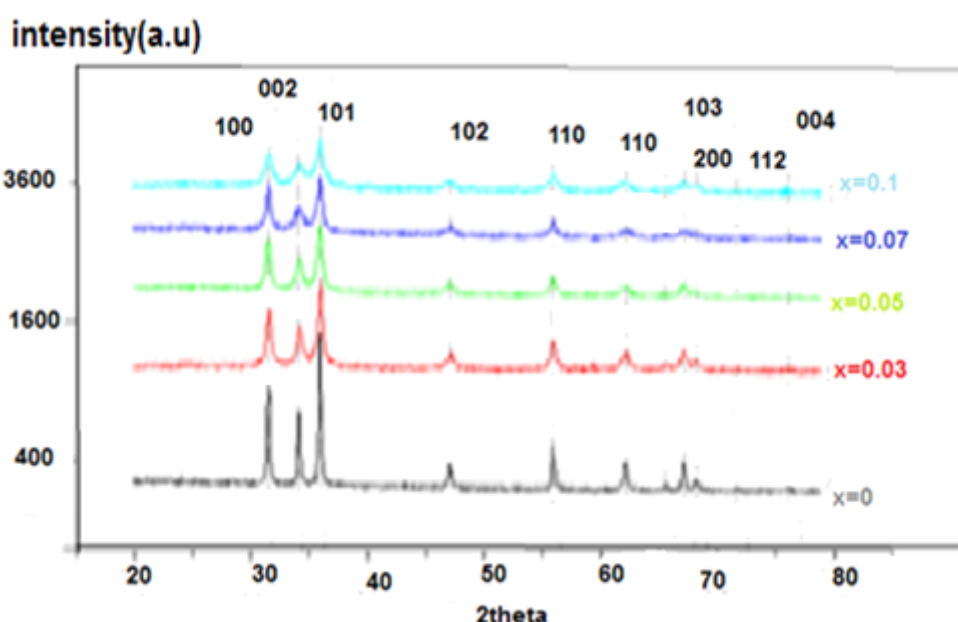
الگوی پراش پرتو X نمونه‌های پخته شده، در شکل ۱ نشان داده شده است. جنابنگره از شکل پیداست، همه‌ی نمونه‌ها تک فاز بوده و دارای ساختار شش گوش‌اند. اطلاعات بدست آمده از الگوی پراش پرتو ایکس نمونه‌ها نشان می‌دهد که همه‌ی قله‌های پراش با افزایش غلظت منگنز به سمت زوایای کوچکتر جابه‌جا شده‌اند. برای تمامی نمونه‌ها ثابت‌های شبکه‌های a و c محاسبه شدند. ثابت a از مقادیر آنگستروم  $3,243.9 \pm 3,250.1$  و ثابت شبکه‌ی c از  $5,207.1 \pm 5,198.3$  آنگستروم در نمونه‌های مختلف  $Zn_{1-x}Mn_xO$  ( $0 \leq x \leq 0.1$ ) محاسبه شدند. افزایش در ثابت‌های شبکه تا غلظت منگنز  $0.07 \pm 0.07$  دیده شده و سپس تا غلظت  $0.1 \pm 0.1$  کاهش ثابت‌ها را داریم. همچنین با افزایش در غلظت منگنز قله‌ی (۱۰۱) به سمت زوایای برآگ کمتر جابه‌جا شده است این نشانه‌ی آن است که یون‌های منگنز که شعاع بیشتری در حد  $0.83 \pm 0.83$  آنگستروم دارند در شبکه‌ی اکسید روی وارد شده‌اند. نتایج مشابه در جا نشانی فریت منگنز با کجالت توسط عمیقیان و همکاران [۱۶] و نیز برای ترکیب CO-Zn توسط منوچهری و همکاران [۱۷] گزارش شدند. اندازه‌ی بلورک‌ها با استفاده از رابطه‌ی شرور بین  $30 - 20$  نانومتر محاسبه شدند. تصاویر میکروسکوپ الکترونی (TEM) در شکل ۲ نشان داده شده‌اند. با توجه به شکل ۲ مشاهده می‌شود که در اثر آلایش، اندازه‌ی ذرات افزایش می‌باید و می‌توان نتیجه گرفت که اندازه‌ی دانه‌های به دست آمده از TEM نزدیک به اندازه‌ی بلورک‌های بدست آمده با رابطه‌ی شرور همخوان است.

شرما و همکاران برهم کنش فرومغناطیسی را در نمونه‌های آماده شده در دمای  $700^\circ\text{C}$  درجه‌ی سانتیگراد در جو بررسی کردند. یافته‌های آنها مبنی بر این بود که وقتی نمونه‌ها در هوا خشک می‌شوند خاصیت فرومغناطیسی از بین می‌رود از این رو می‌توان نتیجه گرفت که خاصیت فرومغناطیسی بستگی به روش تهیه ممواد در این نیمرسانه‌ای دارد. [۱۱] روش‌های مختلفی در ترکیب نیمرسانه‌ای رقیق شده مثل همروسوی [۱۲] گرمایی [۱۳] برآر استی با لیزر، انباست لیزری و سل ژل [۱۴] وغیره به کار می‌روند. در این میان سل ژل خود احتراقی، به دلیل عدم نیاز به گرما و خلا بالا و ارزانی آن، مورد توجه قرار گرفته است [۱۵]. یون منگنز به دلیل داشتن مغناطیش لحظه‌ای در ساختن ابزارهای چرخان، مورد توجه قرار گرفته‌اند.

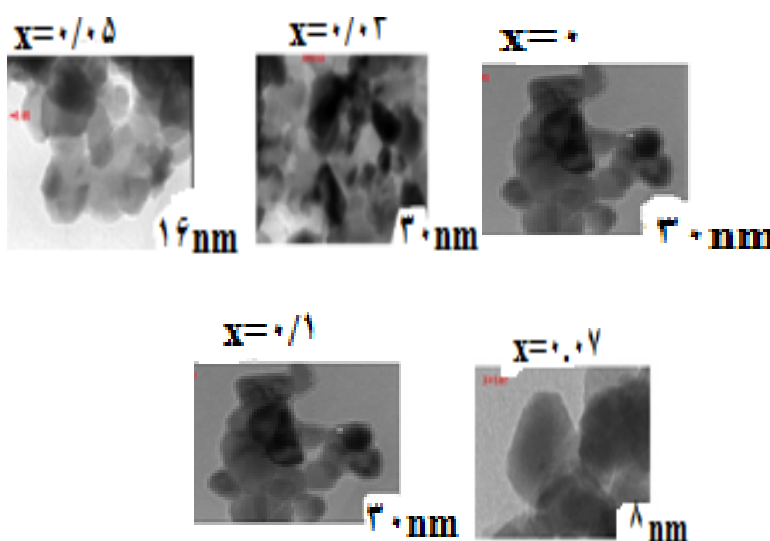
در این پژوهش نانوذرات اکسید روی را با روش سل-ژل خود احتراقی تهیه کردیم و تاثیر غلظت‌های مختلف ناخالصی یون منگنز با فرمول کلی  $Zn_{1-x}Mn_xO$  ( $x = 0, 0.03, 0.05, 0.07, 0.1$ ) را بر پارامترهای ساختاری و مغناطیسی نانوذرات اکسید روی مورد بررسی قرار دادیم.

### روش کار

برای تهیه نانوذرات آلایش شده اکسید روی به روش سل-ژل خود احتراقی، از نیترات‌های روی  $6\text{MnO}_2$  و منگنز نه آبه  $(NO_3)_2 \cdot 6H_2O$  اسید سیتریک  $(C_6H_8O_7)$  با خلوص  $99.9\%$  در صد از شرکت مرک آلمان استفاده شد. با رعایت قواعد عنصرسنجی از هر کدام از این مواد به مقادیر مشخصی انتخاب شدند و با استفاده از  $100\text{S}\text{Si}\text{O}_2$  آب مقطر دوبار یونیده شده یک محلول تعليقی ساخته شد. همزمان با هم زدن محلول، دمای آن در گستره  $5 \pm 5$  سانتی‌گراد ثابت نگه داشته شد. برای خشک کردن و رسیدن به فرآیند سوختن، ژل ساخته شده در یک ظرف با دمای  $240^\circ\text{C}$  سانتی‌گراد قرار گرفت. در این حالت نمونه‌ها به سرعت شروع به سوختن کرده و پس از مدت کوتاهی خاکستری نرم از آنها بر جا ماند. نسبت مول‌های نیترات به سیترات در این پژوهش برای نمونه‌ها  $1 \pm 1$  در نظر گرفته شد. پس از فرآیند سوختن، تمامی نمونه‌ها در دمای  $500^\circ\text{C}$  درجه‌ی سانتی‌گراد به مدت ۵ ساعت پخته شدند. در این مرحله نمونه‌ها پس از قرار گرفتن در کوره، رنگ آنها از سیاه به روش تبدیل شد، و میزان تغییر رنگ به مقدار منگنز آلایش شده بستگی داشت به گونه‌ای که نمونه  $0 = X$  دارای رنگ



شکل ۱ بیناب XRD نمونه‌ها پس از پخته شدن در دمای ۵۰۰ درجه‌ی سلسیوس و به مدت ۵ ساعت.



شکل ۲ عکس‌هایی از (TEM) نمونه‌های مختلف.

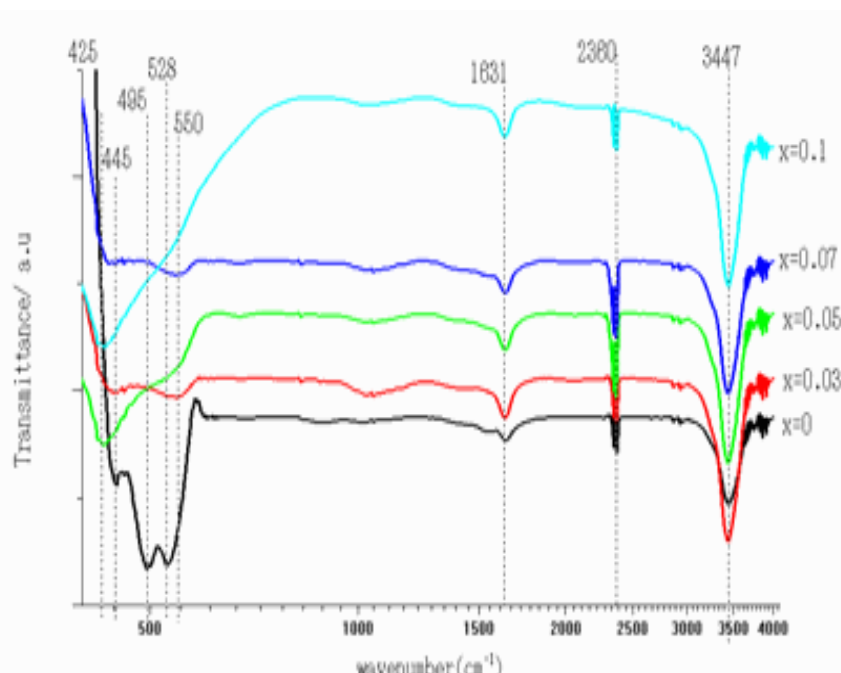
ی بلورک‌ها افزایش می‌باید قله‌ها به سمت عدد موج‌های کمتر جابه‌جا می‌شوند.

بررسی بیناب‌سنجی فتوالکترون پرتو ایکس برای آگاهی از چگونگی قرار گرفتن منگنز در نمونه‌ها، از بیناب‌سنجی فتوالکترون پرتوایکس (XPS) استفاده شد (شکل ۴). در نمودار XPS نمونه‌ها قله‌های مربوط به C, Zn, M, O دیده می‌شوند که به وسیله (C12) کربن مدرج شده‌اند. در شکل ۴ قله‌ی ۱۰۲۱ و ۱۰۴۴ الکترون ولت در نمونه‌ها ارتباط

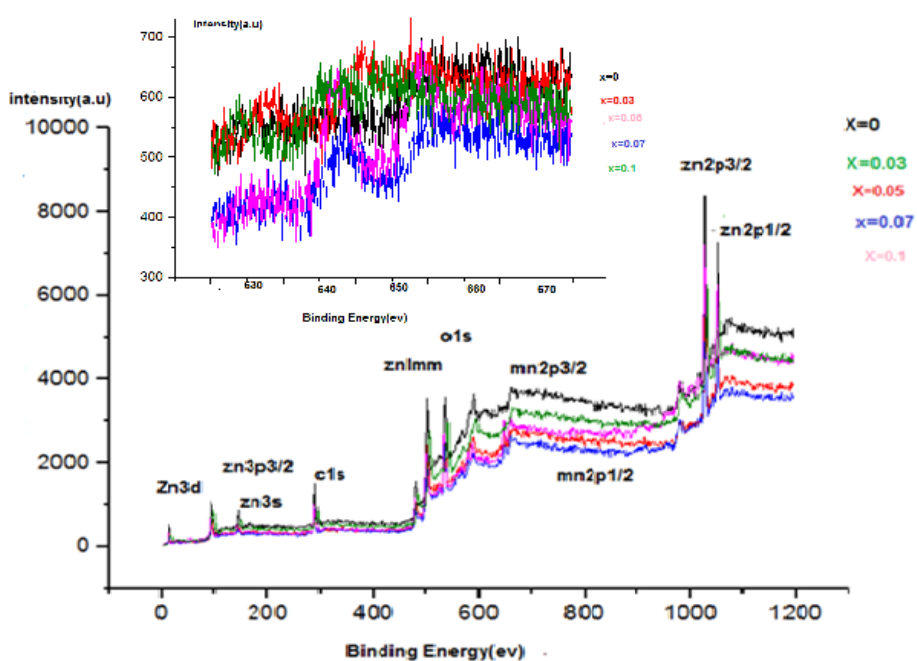
بررسی تحلیلی بیناب فروسرخ فوریه بیناب جذبی نمونه‌ها با استفاده از نمودار بیناب جذبی فروسرخ (FTIR) انجام شد (شکل ۳) و علاوه بر قله‌های مربوط به پیوند H-O-H و O-H مولکول‌های جذب شده بخار آب موجود در هوا و پیوند O=C=O با بازه  $400 \text{ cm}^{-1}$  تا  $600 \text{ cm}^{-1}$  وابسته به پیوند Zn-O بوده و قله‌های Zn-O بازه ۴۹۵ و ۵۲۸ نانومتر مربوط به فنوون‌های سطح‌آند و به فنوون‌های E<sub>T</sub> و A<sub>T</sub> (TO) معروفند [۱۸]. از طرف دیگر هر چه اندازه-

مشاهده می‌شود؛ تا غلظت  $0.05\text{M}$  تمام قله‌های مربوط به منگنز به صورت  $\frac{3}{2}\text{Zn}^{2+}$  و  $\frac{1}{2}\text{Zn}^{2+}$  و از غلظت  $0.07\text{M}$  قله‌ی منگنز به صورت  $\text{S}^{2-}$  نیز ظاهر می‌شود بنابراین نتیجه می‌گیریم که منگنز تا غلظت  $0.05\text{M}$  به صورت  $\text{Mn}^{2+}$  درون ساختار نانوذرات آلایش شده وجود دارد.

به  $\text{Zn}^{2+}$  و  $\text{Zn}^{2+}$  دارد. این قله‌ها نشان می‌دهند که روی به شکل  $\text{Zn}^{2+}$  در نمونه‌ها دیده می‌شود. در این نمودار بیون‌های منگنز نیز به صورت  $\frac{3}{2}\text{Zn}^{2+}$  و  $\frac{1}{2}\text{Zn}^{2+}$  با نرژی بستگی  $640.1\text{eV}$  و  $641.2\text{eV}$  الکترون ولت وجود دارند. برای  $\text{Mn}^{2+}$  این قله‌ها در  $640.1\text{eV}$  الکترون ولت ظاهر می‌شوند [۱۹]. چنانکه در نمودار



شکل ۳ نمودار بیناب جذبی فرو سرخ فوریه FTIR نمونه‌ها.



شکل ۴ الگوی فوتوالکترون پرتو ایکس نمونه‌ها (XPS)

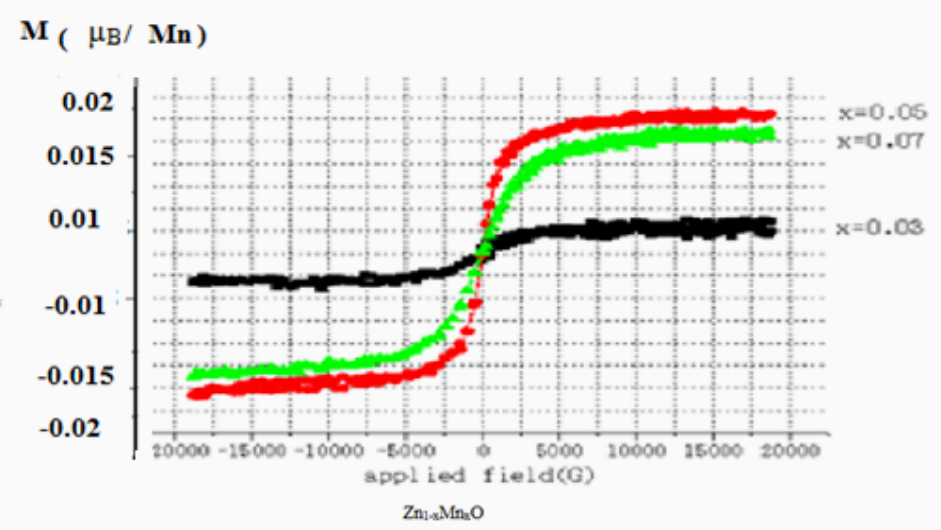
علاوه بر این تبادل برهمکنش بین الکترون‌های رسانشی و الکترون‌های یون‌های  $Mn^{+2}$  را می‌توان عامل بسیار مهمی در به وجود آمدن نظم فرومغناطیسی دانست [۲۲]. نکته مهمی در نمودار ۵ این است که اثرهای مغناطیسی مشاهده شده به برهمکنش بین یون‌های  $Mn^{+2}$  و حامل‌های آزاد بار یعنی الکترون‌ها و حفره‌ها مربوط بوده و در این مورد اثرهای مغناطیسی ناشی از وجود نظم فرومغناطیسی یون‌های  $Mn^{+2}$  بسیار ناچیز است زیرا آرایش الکترونی لایه‌ی  $d$  برای  $Mn^{+2}$  به صورت  $3d^4$  است. یعنی اگر این یون‌ها عامل این خاصیت باشند باید مغناطش اشباع آنها در حد  $\mu_B$  ۴ باشد اما از طرف دیگر چنانکه از شکل ۵ پیداست، بیشترین مغناطش اشباع نمونه‌ها  $\mu_B$  ۰,۰۱۷ است. در نتیجه عامل نظم فرومغناطیسی را می‌توان به برهمکنش تبادلی بین یون‌های منگنز و حامل‌های بار نسبت داد [۲۳]. کمتر شدن مغناطش اشباع نمونه‌ی  $x = 0,07$  نسبت به نمونه‌ی  $x = 0,05$  را اینگونه می‌توان توجیه کرد که با افزایش مقدار یون‌های منگنز درون نمونه‌ی  $x = 0,07$  میانگین فاصله بین یون‌های منگنز کاهش می‌یابد و ارزی حالت پادفرومغناطیس یون‌های منگنز کمتر از حالت فرومغناطیس است در نتیجه این یون‌ها به صورت پاد فرومغناطیس برهمکنش کرده و این موجب کم شدن رفتار مغناطیسی نمونه‌ی  $x = 0,07$  نسبت به نمونه‌ی  $x = 0,05$  می‌شود. به عبارت دیگر برهمکنش پاد فرومغناطیسی بین یون‌های منگنز در غلظت‌های بالا خاصیت فرومغناطیسی را سرکوب می‌کند.

### بررسی ویژگی‌های مغناطیسی

چرخه‌ی پسماند نمونه‌ها که با دستگاه مغناطش سنج ارتعاشی (VSM) (شکل ۵) بدست آمد، نشان از وجود ویژگی فرومغناطیسی در دمای اتاق دارد. با افزایش مقدار منگنز از  $x = 0,03$  به  $x = 0,05$ ، مغناطش اشباع نمونه‌ها نیز افزایش می‌یابد. ولی نمودار نشان می‌دهد که مغناطش اشباع نمونه‌ی  $x = 0,05$  از نمونه‌ی  $x = 0,07$  بیشتر شده است. یعنی افزایش بیش از حد ناخالصی نه تنها مغناطش را افزایش نمی‌دهد بلکه رفتار مغناطیسی را ضعیفتر می‌کند.

### بحث و برداشت

کلیه نانو پودرها با رابطه‌ی کلی  $Zn_{1-x}Mn_xO$  به روش سل ژل خود احتراقی تهیه شدند. آنالیز نتایج از XRD و FTIR و XPS نشان داد که ظرفیت منگنز در  $2P^{3/2}$  و  $2P^{1/2}$  به خوبی VSM در شبکه اکسید روی جایگزین شده‌اند. اندازه‌گیری‌های نشان دهنده خاصیت فرومغناطیس در دمای اتاق در نمونه‌ها بود. خاصیت فرومغناطیس مشاهده شده در اکسید روی آلایش شده یک رفتار ذاتی بوده و مستقل از خواصهای منگنز و یا فازهای ثانویه است [۲۰]. این پدیده درون این ترکیب‌ها معمولاً از نظریه‌ی فرمغناطیس ذاتی (RKKY) قابل توجیه است [۲۱، ۲۲]. بنابراین نظریه خاستگاه فرمغناطیس در دمای اتاق برای اکسید روی آلایش شده با منگنز به صورت وارد شدن یون‌های  $Mn^{+2}$  به درون ساختار بلوری و تغییر در غلظت حامل‌های بار است. شرما و همکاران کمتر بودن مغناطش اشباع را به کاهش اندازه‌ی بلورکها ارتباط می‌دهند [۱۱].



شکل ۵ نمودار چرخه‌ی پسماند نمونه‌ها با مقادیر متفاوت منگنز ( $Zn_{1-x}Mn_xO$ ) در دمای اتاق.

- [14] Yadav R.S., Pandey A.C., Sanjay S.S., Chalcogenide Let.6 (2009)233.
- [15] Anselmi Tamburini U., Maglia F., Spinolo G., Munir Z.A., "Combustion Synthesis: an Effective Tool for the Synthesis of Advanced Materials"; Journal of Sci Tech (2000) 1-10.
- [۱۶] منوچهری س، عمیقیان ج، مظفری م، یوسفی م، "تهیه نانوذرات فریت کبالت- روی و بررسی دمای بستن با جانشانی روی به جای کبالت در میدان مغناطیسی متناوب با بسامدهای گوناگون"، مجله بلور شناسی و کانی شناسی ایران شماره ۱۵، صفحه ۱۷۹-۱۸۶ (۱۳۹۱).
- [۱۷] نیایی فر.م، مراحی ف، حسن پور.ا، عمیقیان ج، "ساخت و بررسی ویژگی های ساختاری و مغناطیسی نانوذرات فریت منگنز جا نشانی شده با کبالت"، مجله بلور شناسی و کانی شناسی ایران شماره ۱۶، صفحه ۱۴۹-۱۵۴ (۱۳۹۳).
- [18] Pandiyarajan T., Udayabhaskar R., Karthikeyan B; Appl.Phys. A 107 (2012) 411-419.
- [19] Bovo L., "Nanostructured Materials Based on ZnO for catalytic", optical and magnetic applications A thesis of universita Degli Studi Di Padova;"(2008).
- [20] Liu C., Chen L., Liu X., Mag.Mate 324(2012) 3356-3360.
- [21] Bonanni A., Dietl T, Chem. Soc. Rev 39 (2010)528-539
- [22] Saleem M., Saadat A., Siddiq A., "Room Temperature Magnetic Behavior of Sol-Gel Synthesized Mn Doped ZnO", chinnes journal of chemical physics,JUNE (2010)
- [23] Zheng N., "Introduction to Dilute Magnetic Semiconductors", department of Physics and Astronomy", The University of Tennessee Knoxville (2008).

## مراجع

- [1] Pan F., Song C., Liu X.J., Ynng Y.C., Zeng F., Mater Sci. Eng.R 62 (2008).
- [2] zgur U.O., Alivov Y.I, Liu C., Teke A., Reschchikov Avrutin V., Cho S.J, Morkoc H., Journal of Applid physics 98 (2005) 041301.
- [3] Pearton S.J., Abernathy C.R., Overberg M.E., Thaler G.T., Norton D.P, Theodoropoulpu N., Hebard A.F., Park Y.D., Kim J., Journal of Applied Physics 93 (2003) 1.
- [4] Yang S.Y., Pakhomov A.B., Hund S.T., Wong C.Y., Lee E., Trans Mag. 38 (2002) 2877.
- [5] Kundaliya D. C., Ogale S. B., Lo S. E., Dhar S., Metting C.J., Shinde S. R., Ma Z., Varughese B., Ramanujachary K. V., Salamanca-Riba L., Venkatesan T., Nature Mater. 3, 673 (2004).
- [6] KimY. M., Yoon M., Park I. W., Park Y. J., Lyou J. H., Solid State Common. 129, 175 (2004).
- [7] Han S. J., Jang T. H., Kim Y. B., Park B. G., Park J.H., Jeong Y. H., Appl. Phys. Lett. 83, 920 (2003).
- [8] Li J. H., Shen D. Z., Zhang J. Y., Zhao D. X., Li B. S.Y., Lu.M., Liu Y. C., Fan X. W., Journal of Magnetic .Mater. 302, 118 (2006).
- [9] Sharma- P., Gupta A., Rao K. V., Owen F. J. s., Sharma R., Ahuja R., Gullen J. M. O., Johansson B., Gehring G. A., Nature Mater. 2, 673 (2003).
- [10] Chen W, Zhao L. F., Wang Y. Q., Miao J. H., Liu S., Xia Z. C., Yuan S. L., Appl. Phys. Lett. 87, 42507(2005).
- [11] Sharma V. K., Xalxo R., Varma G. D., Cryst. Res Technol. 42, 34 (2007)
- [12] Ku C.L., Kou T.J., Huang M.H., J.Phys. Chem. B 109 (2005) 20115.
- [13] Karthineyan B., Pandiyarajan T., Luminescence J., 130 (2010) 2317